

SIA - TP4

Grupo 7

Tomás Scheffer - 63393
Matías Sapino - 61067
Tobías Pugliano - 62180
Luca Bloise - 63004





Red de Kohonen



Datos (x28):

Country
Area
GDP
Inflation
Life Expectancy
Military Expense
People Growth
Unemployment

Variables:

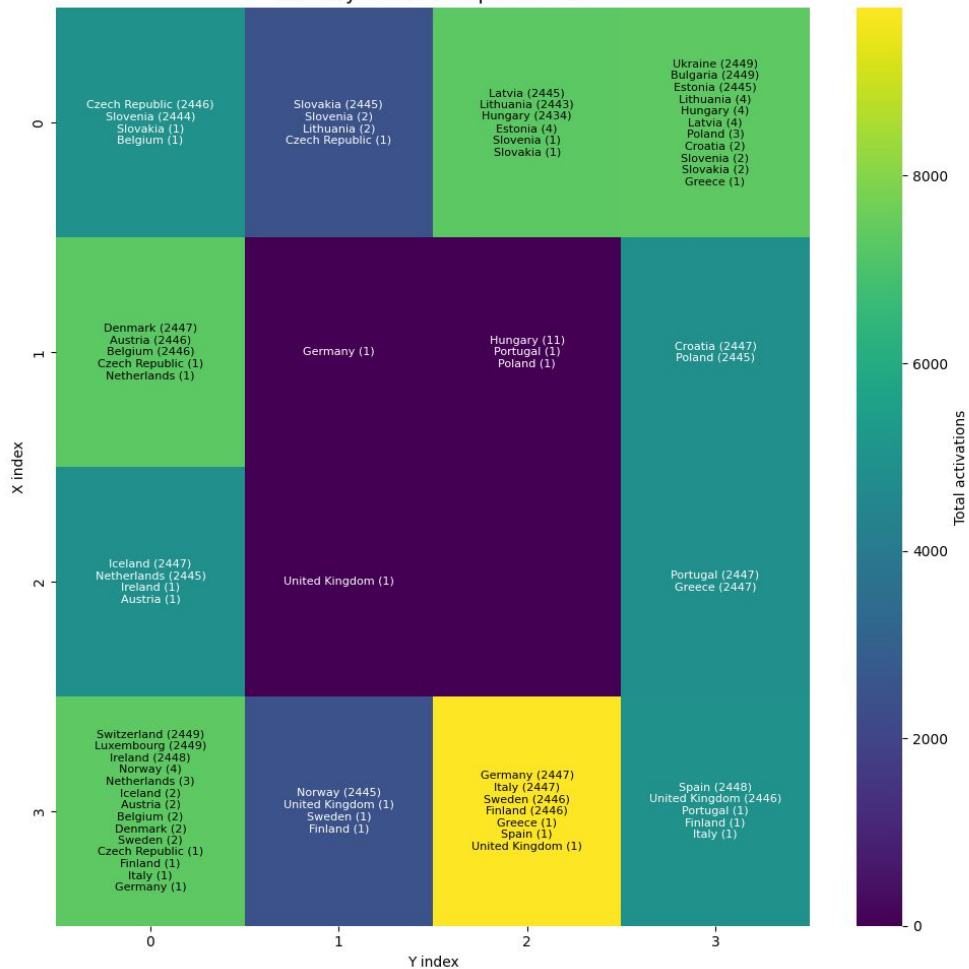
Epochs (Factor)
R0
R constante o variable
S: Euclídea o Exponencial
K

*Learning Rate fijo en 1

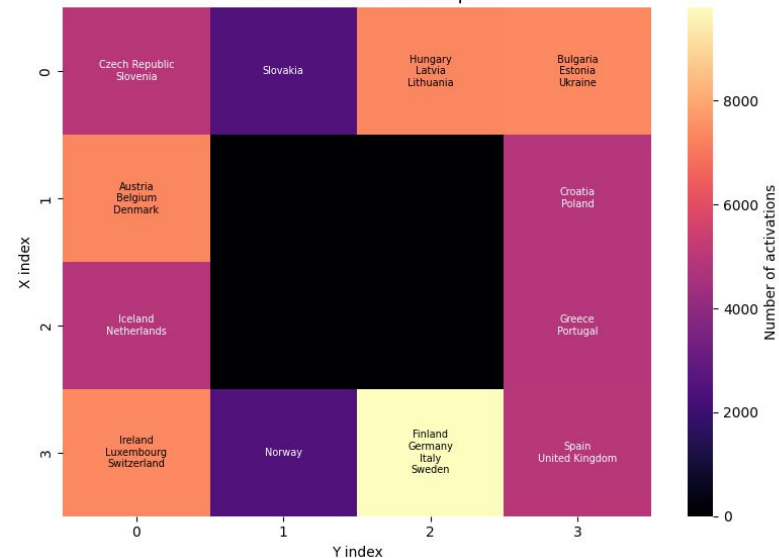
Parámetros:

- Epochs factor: 350
- R0: 6
- R variable
- Distancia Euclídea
- K: 4

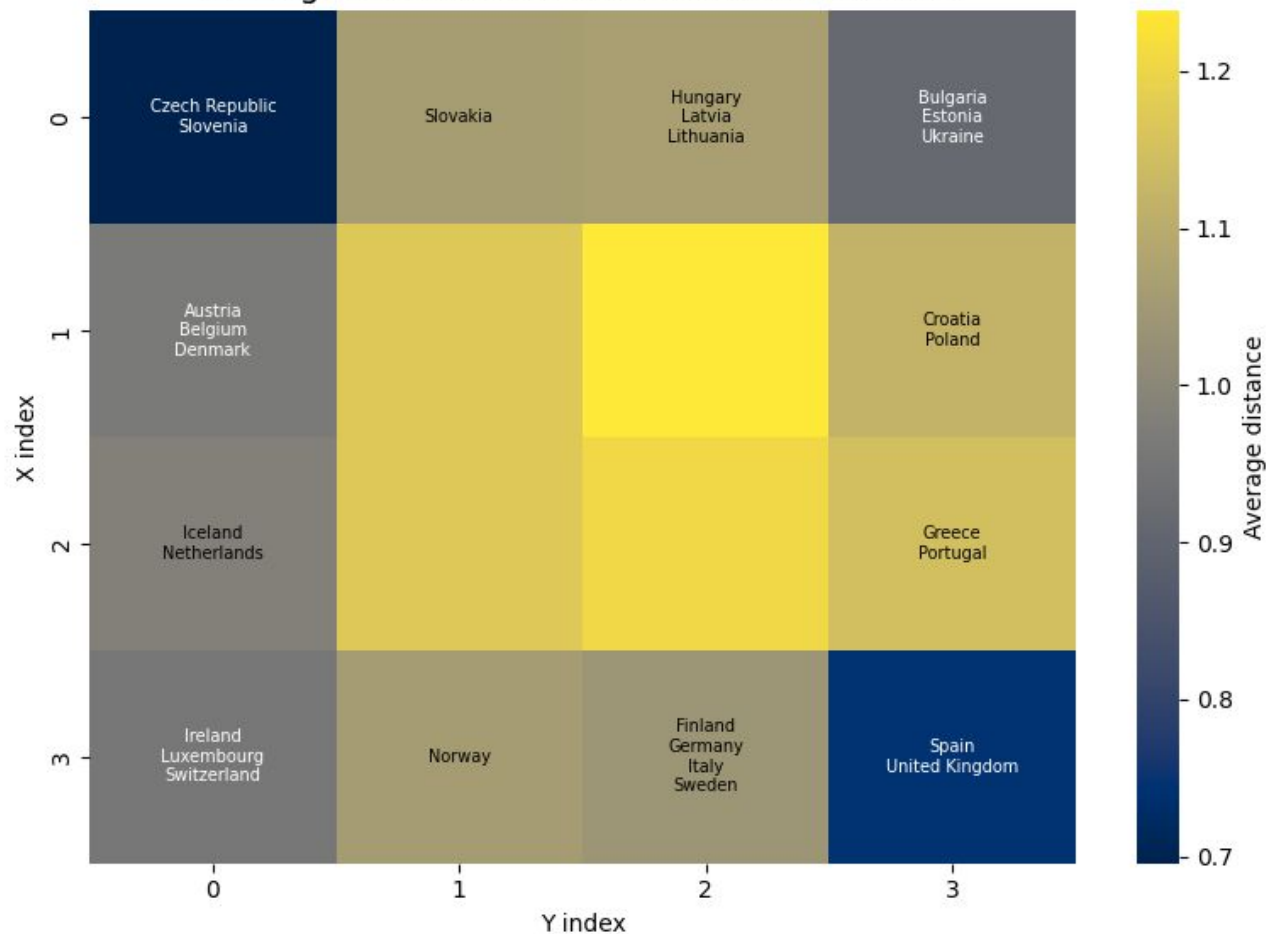
Country activations per neuron



Neuron activation map



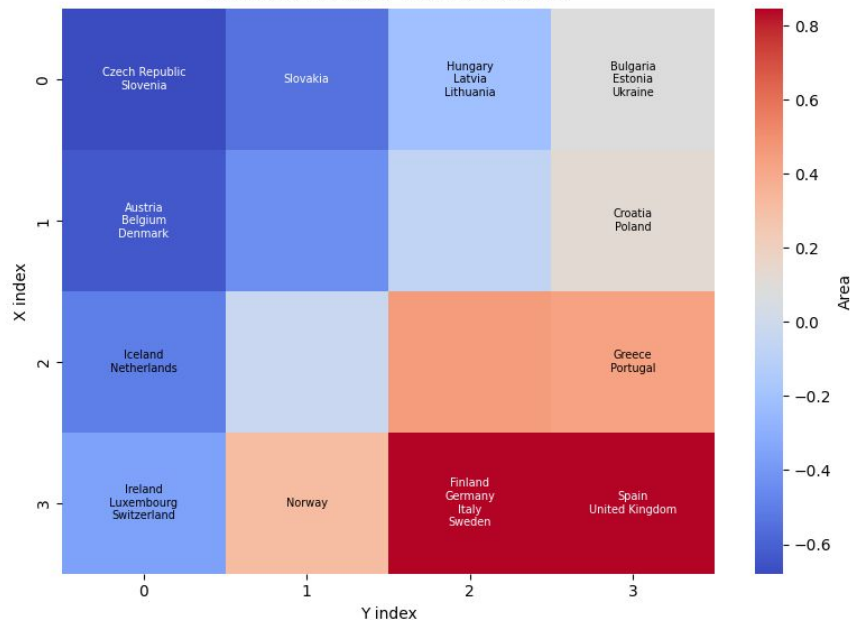
Average Euclidean distance between neurons



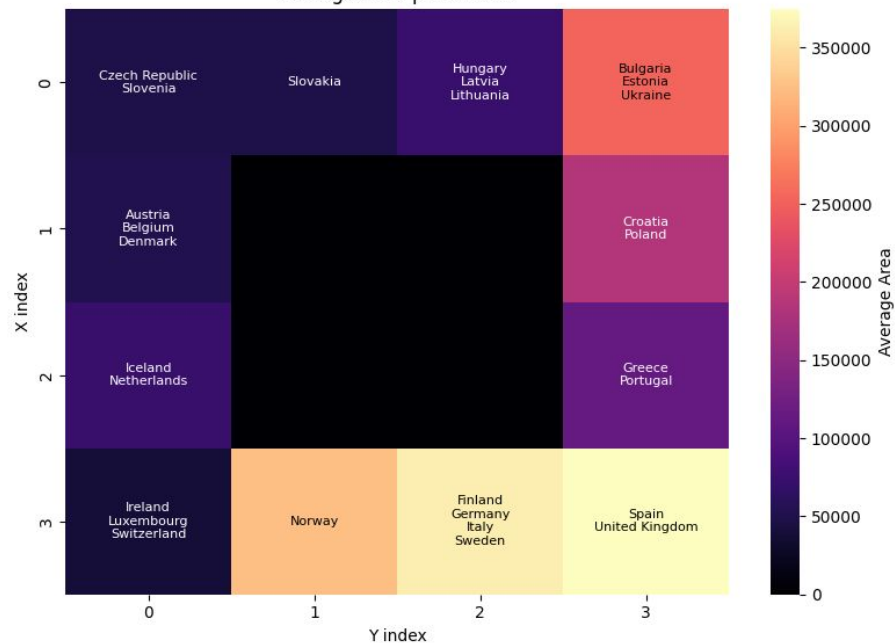


Representación Pesos de Variable vs Promedio de la variable

Area distribution across neurons



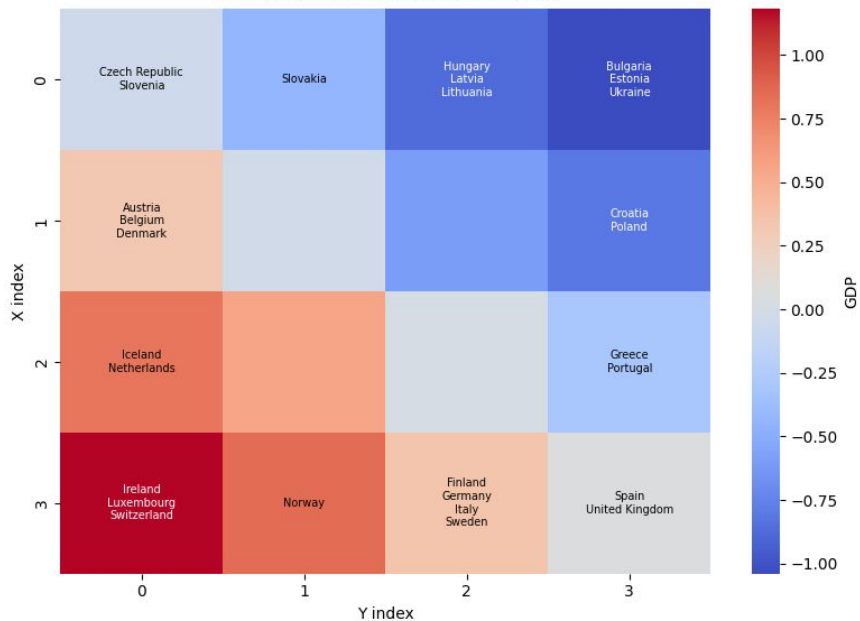
Average Area per neuron



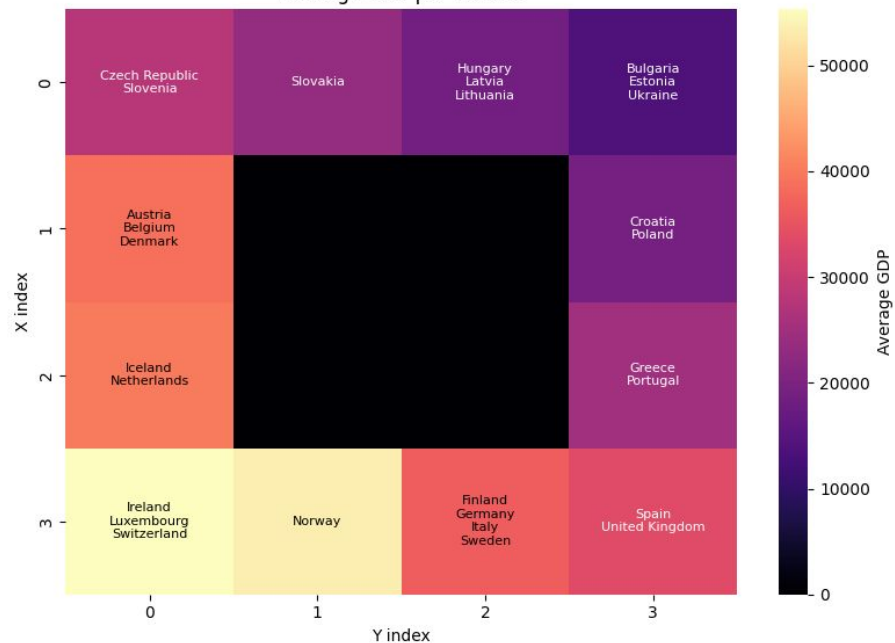


Representación Pesos de Variable vs Promedio de la variable

GDP distribution across neurons



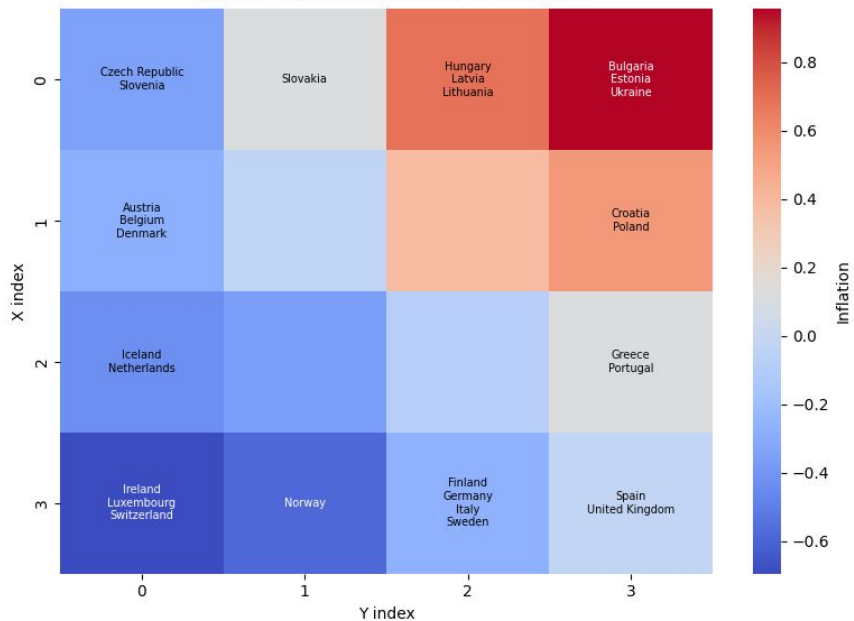
Average GDP per neuron



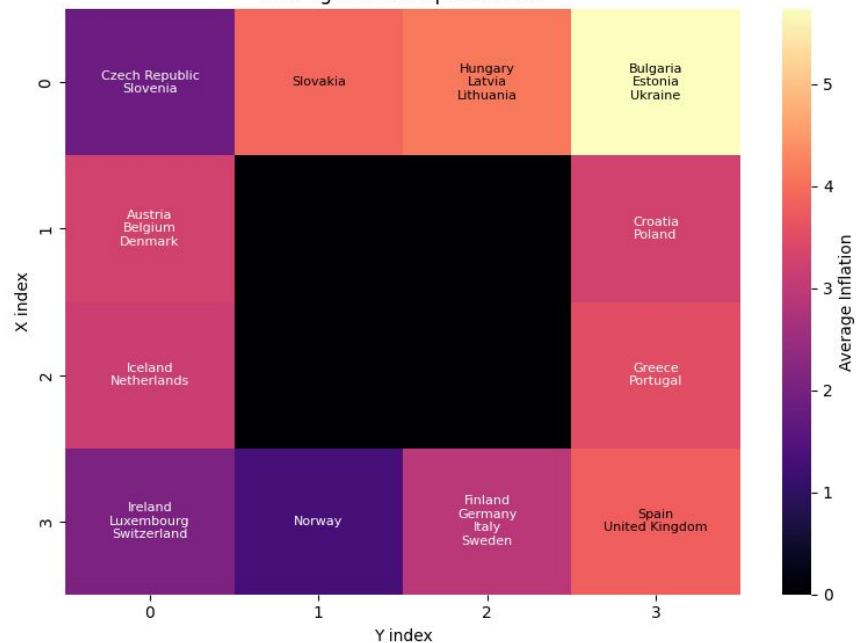


Representación Pesos de Variable vs Promedio de la variable

Inflation distribution across neurons

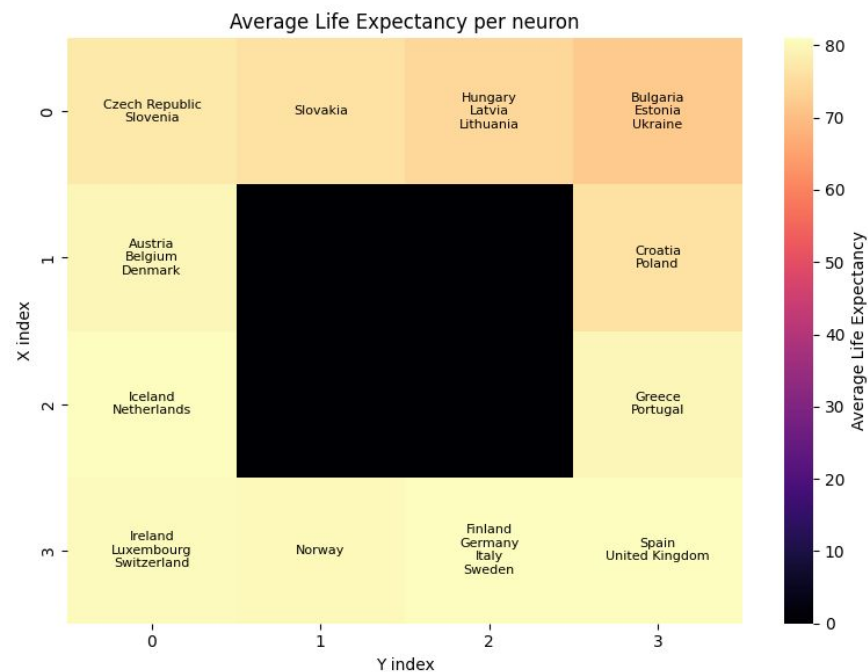
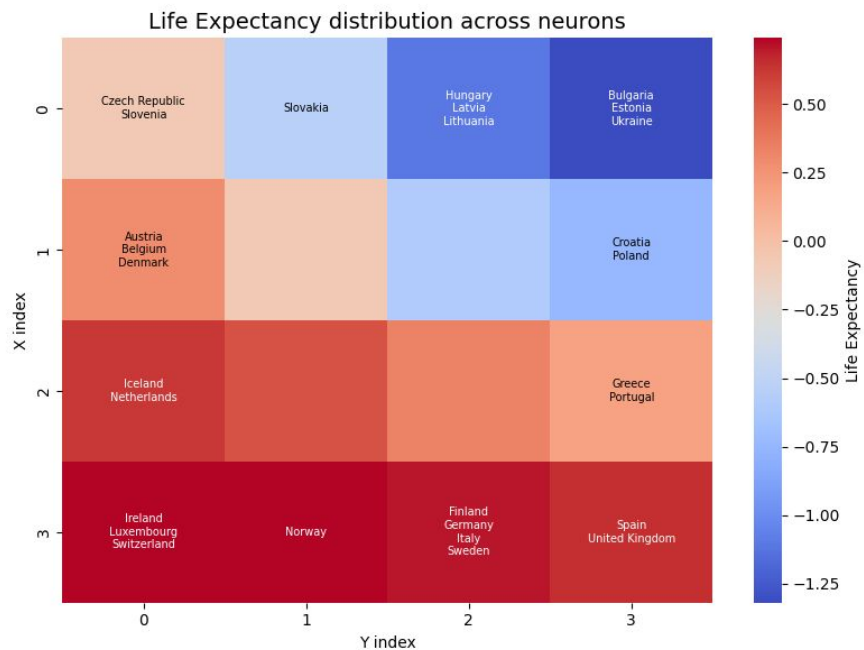


Average Inflation per neuron





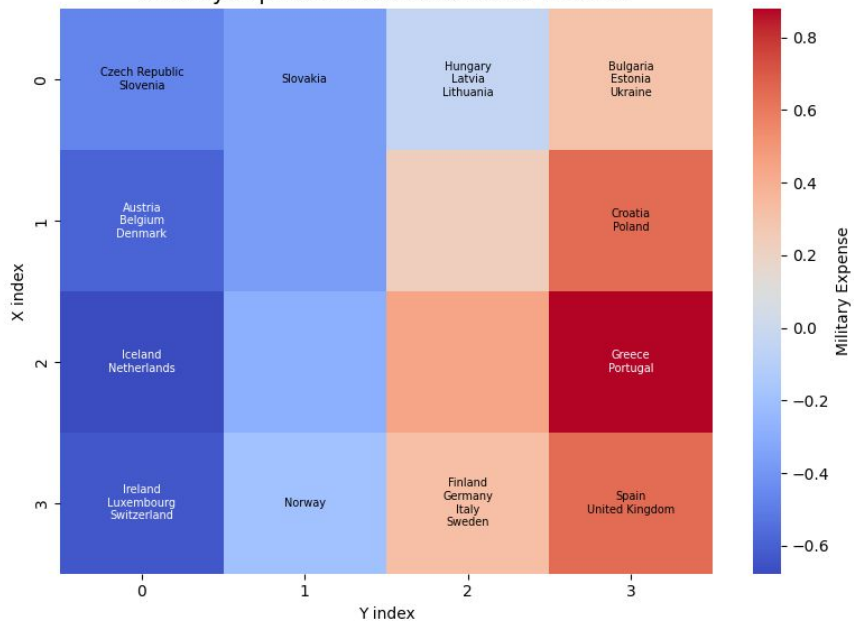
Representación Pesos de Variable vs Promedio de la variable



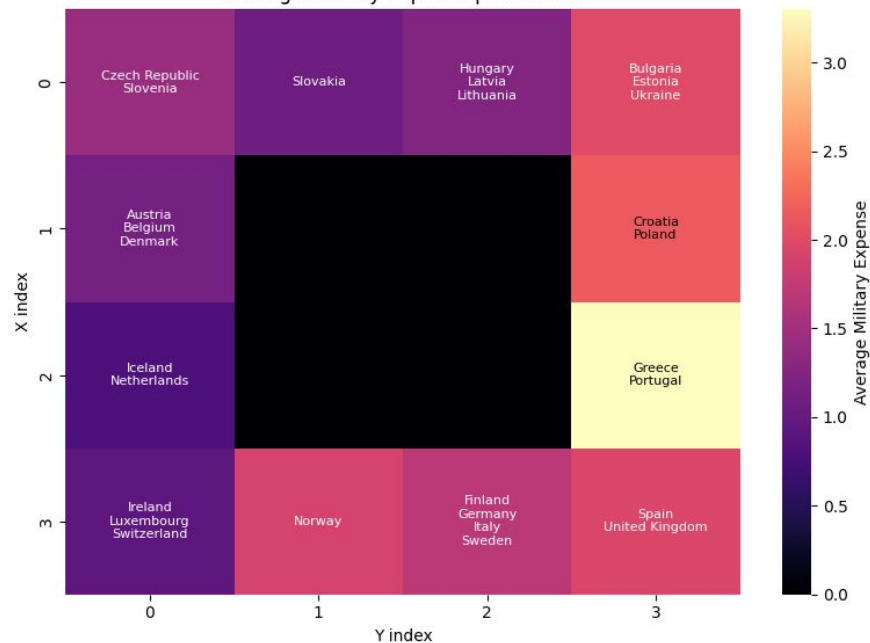


Representación Pesos de Variable vs Promedio de la variable

Military Expense distribution across neurons

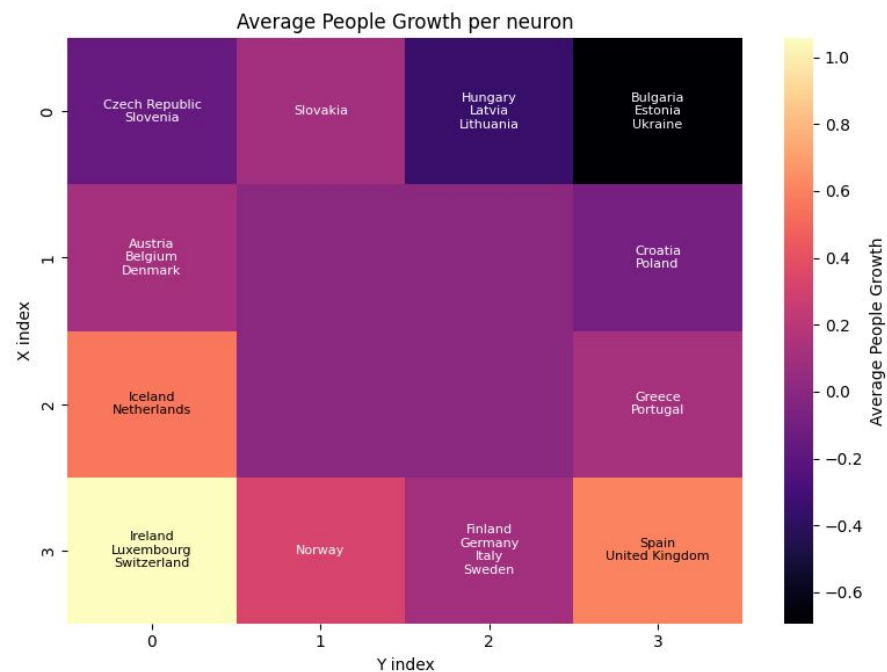
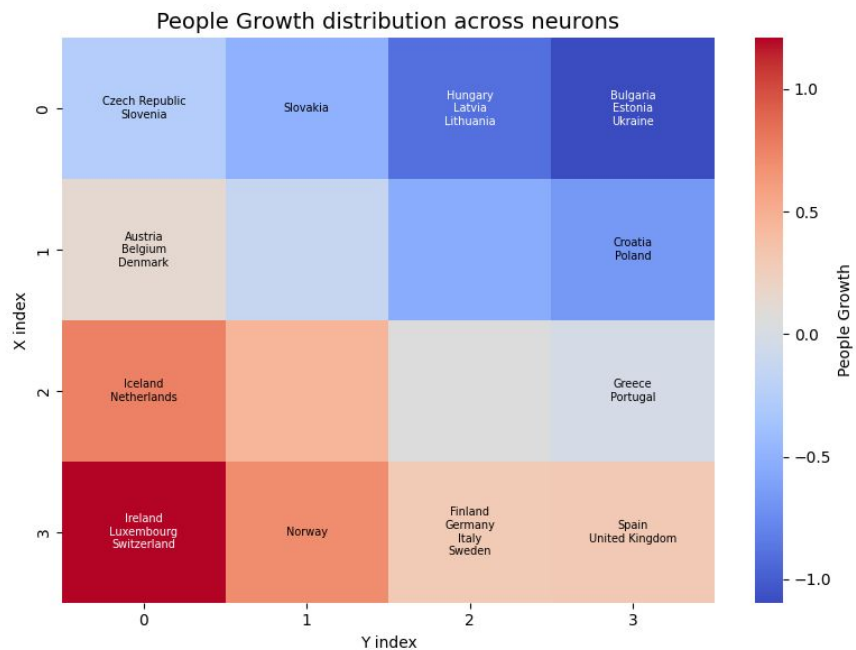


Average Military Expense per neuron





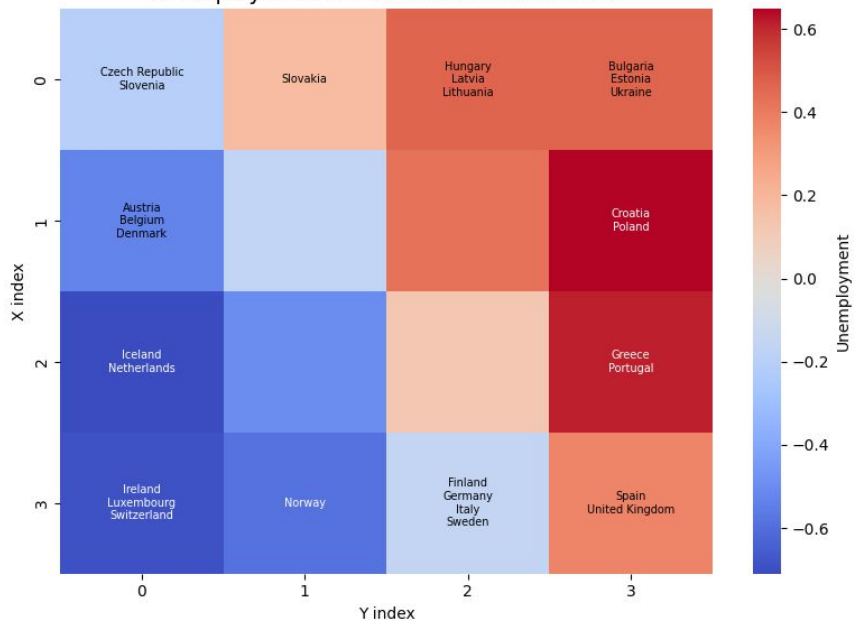
Representación Pesos de Variable vs Promedio de la variable



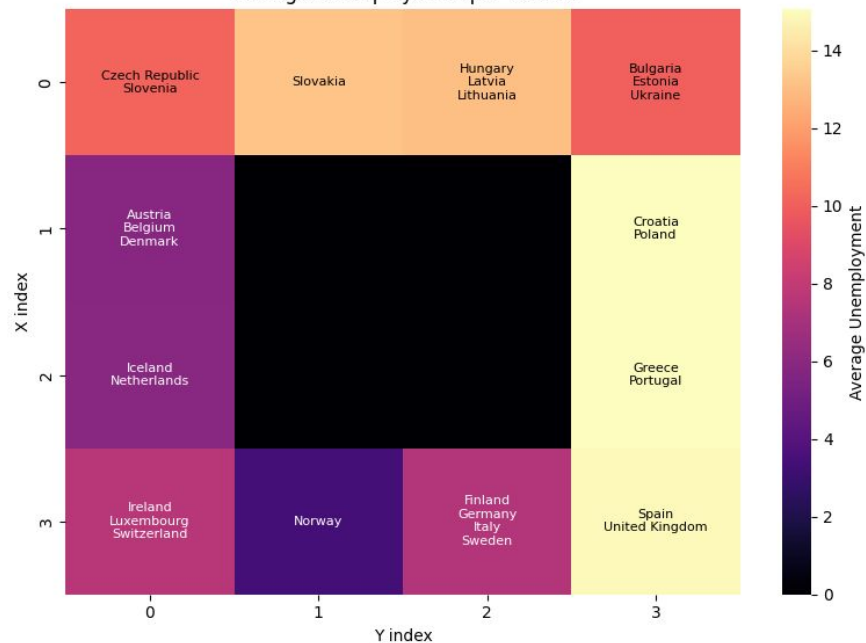


Representación Pesos de Variable vs Promedio de la variable

Unemployment distribution across neurons

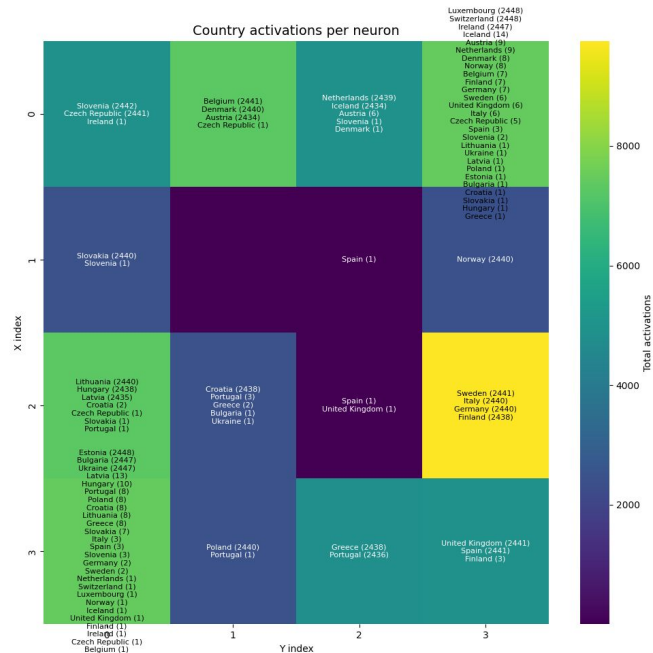
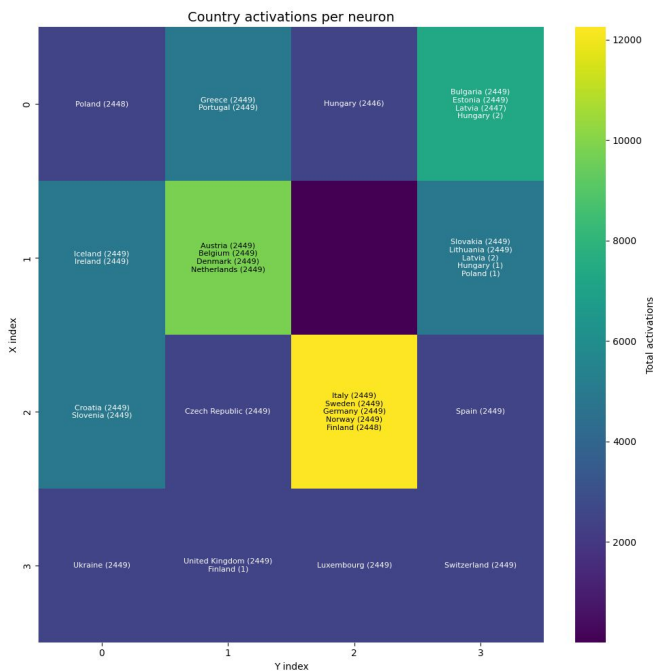


Average Unemployment per neuron





Elección de Radio Inicial: 1.5 vs 12



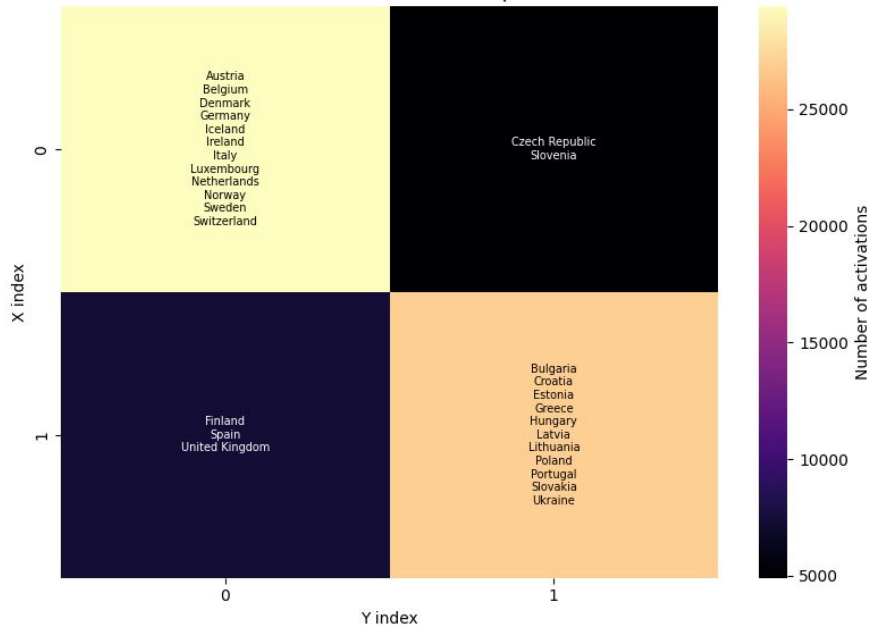
Características encontradas con R0 chico:

- Convergencia más rápida pero menos generalización
- Los pesos de las neuronas no se ajustan gradualmente
- Aprendizaje local

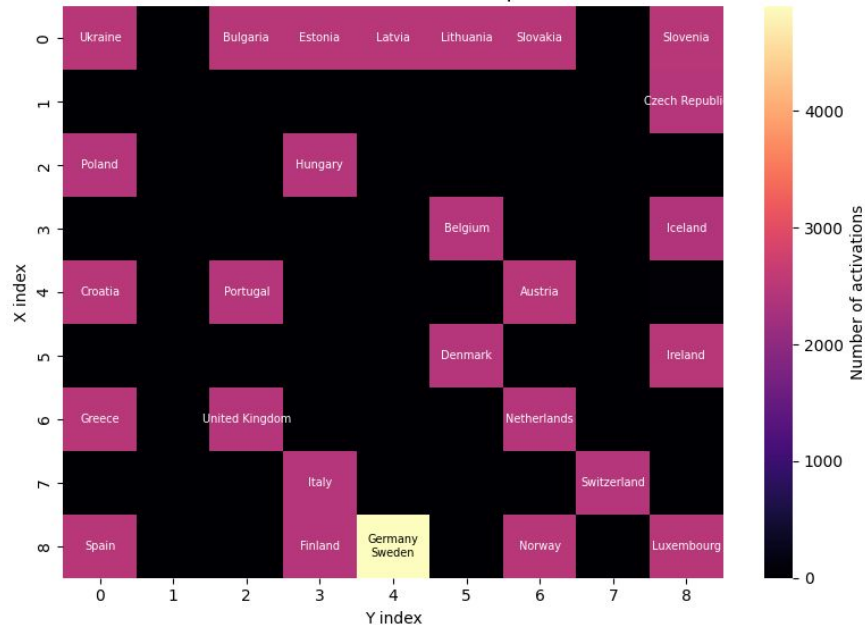


Elección de K: 2 vs 9

Neuron activation map

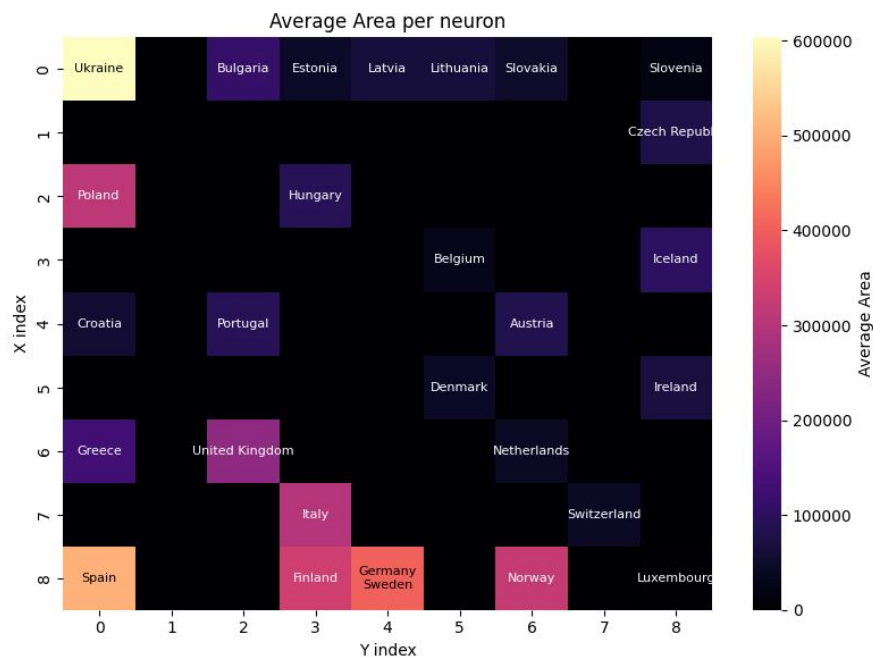
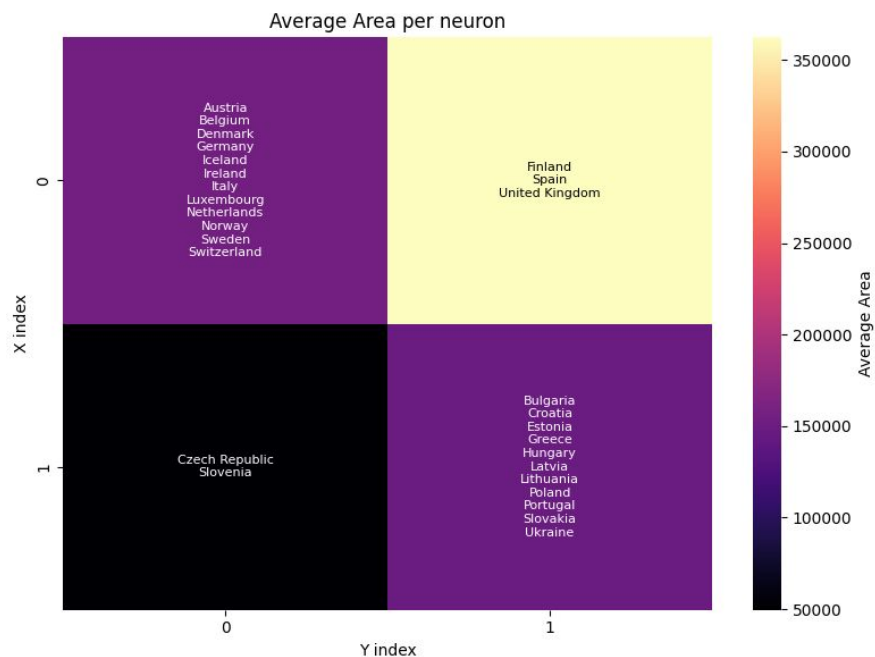


Neuron activation map





Elección de K: 2 vs 9 (Comparando Var.)



Con K chico:

Existe una menor capacidad de discriminación y queda un mapa muy general

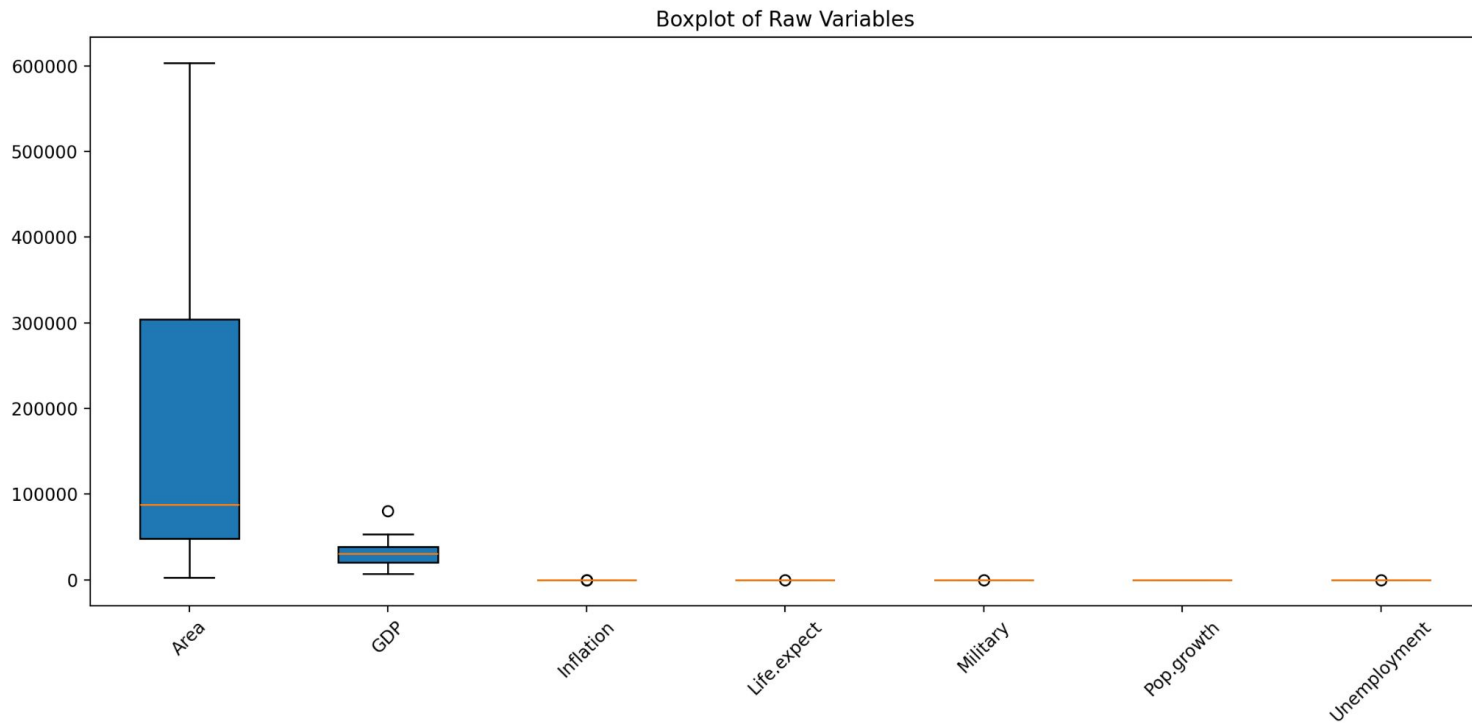
Con K grande:

Hay más neuronas muertas y suele memorizar ejemplos individuales

Modelo de Oja

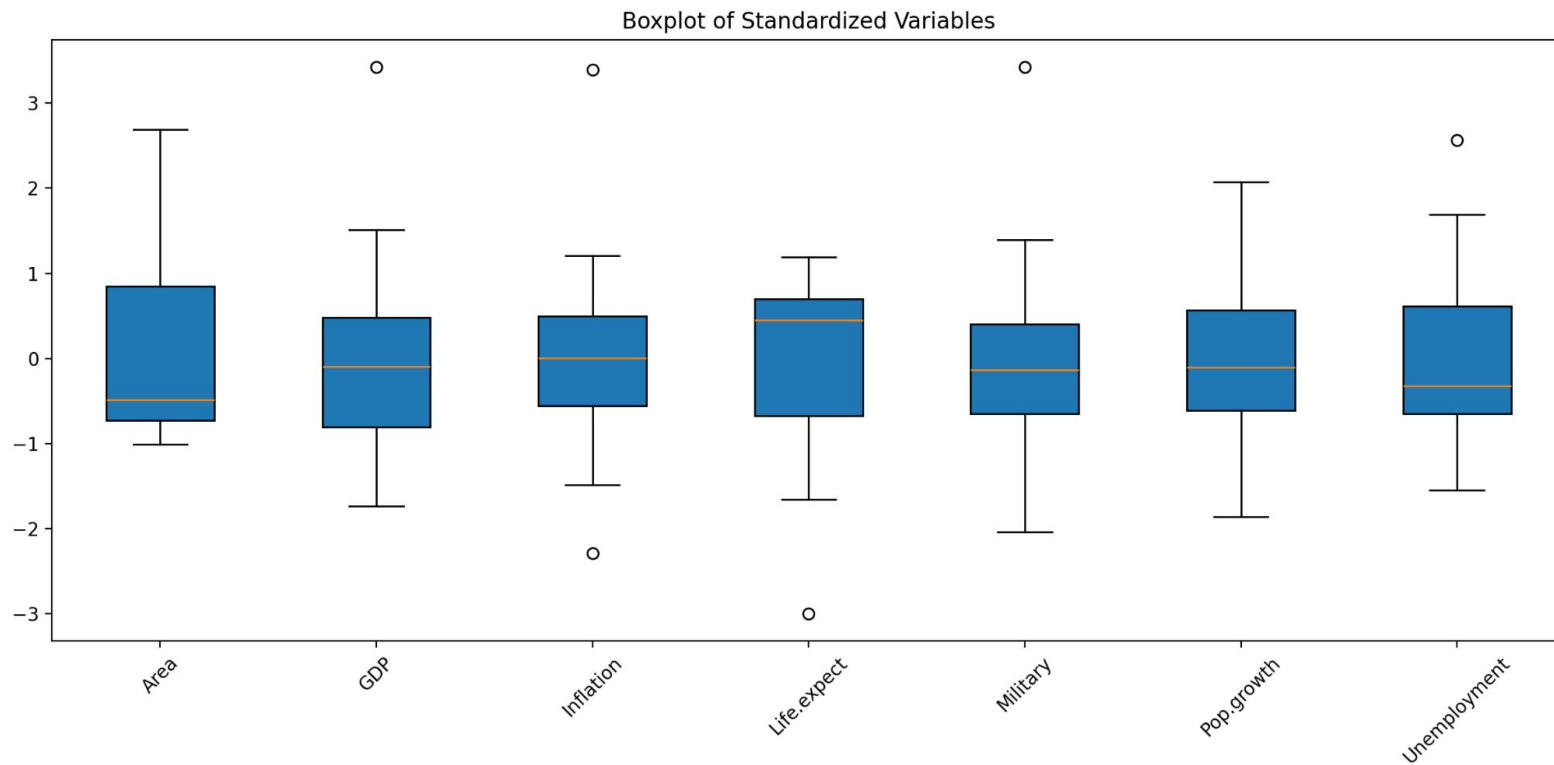


Variables sin estandarizar



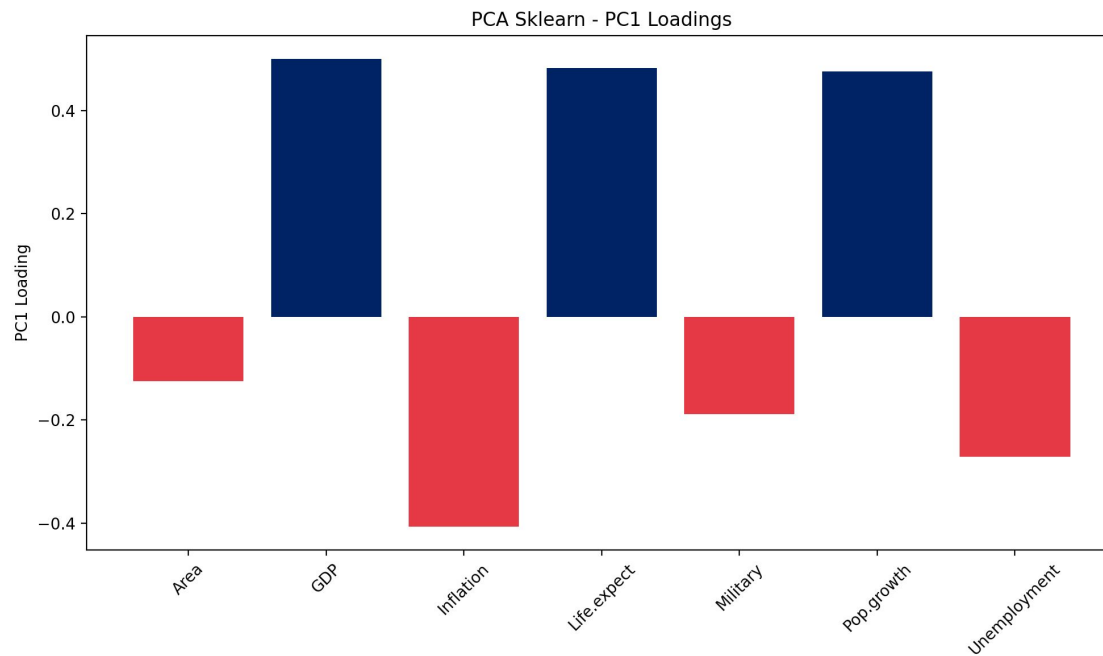


Variables estandarizadas



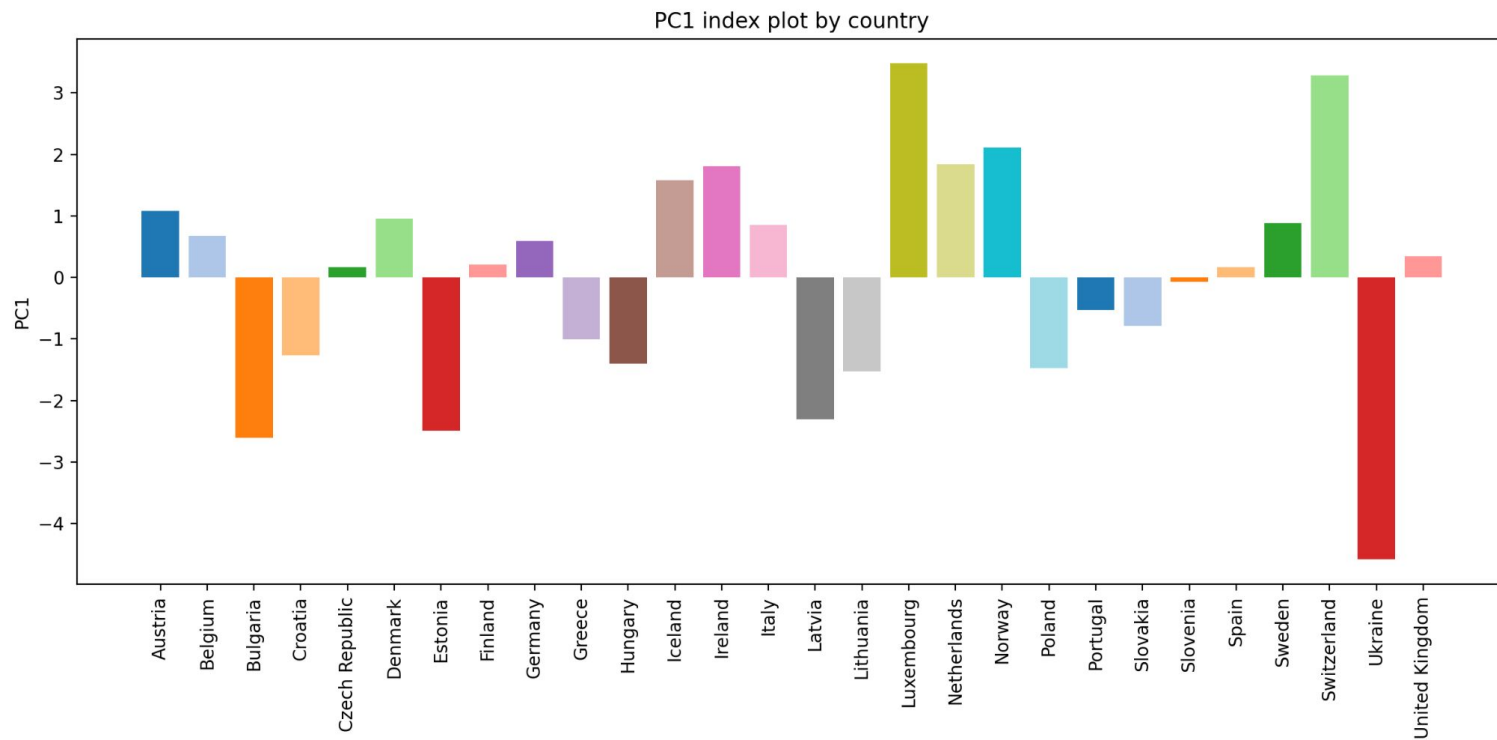


Interpretación de PC1 (SKlearn)



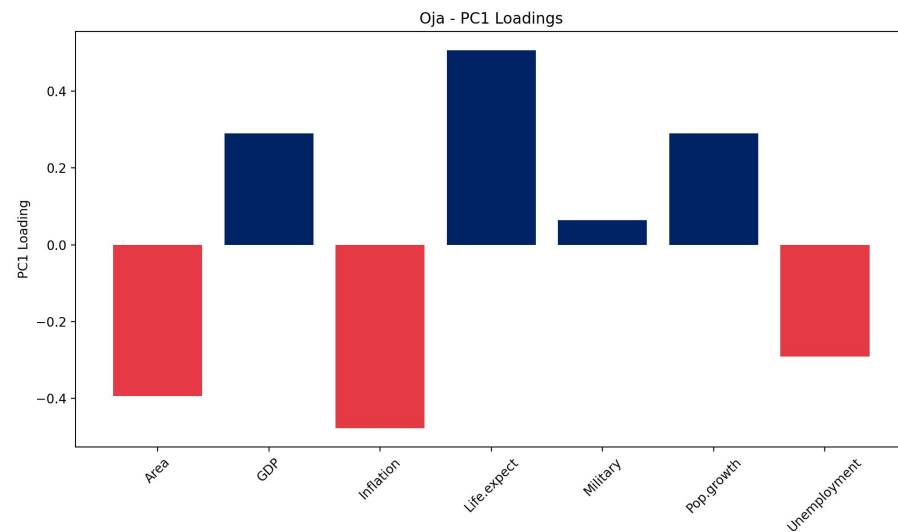
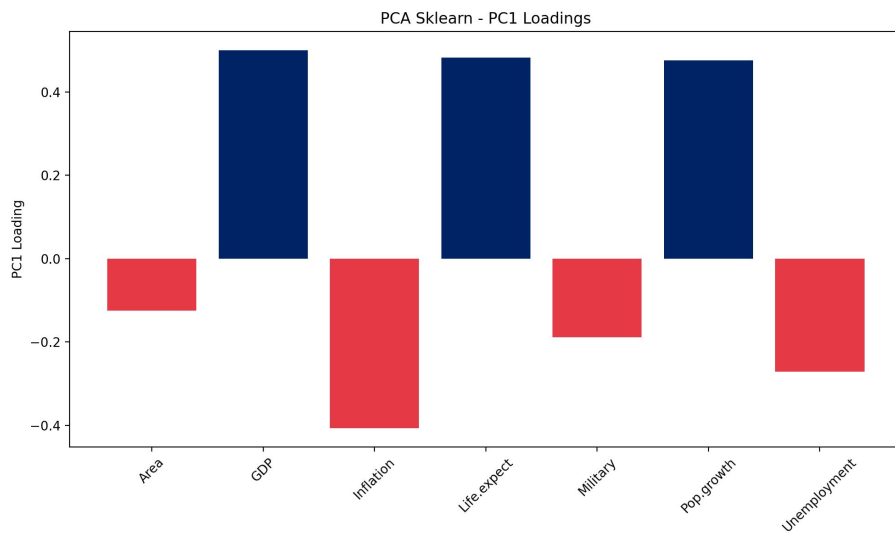


Índice



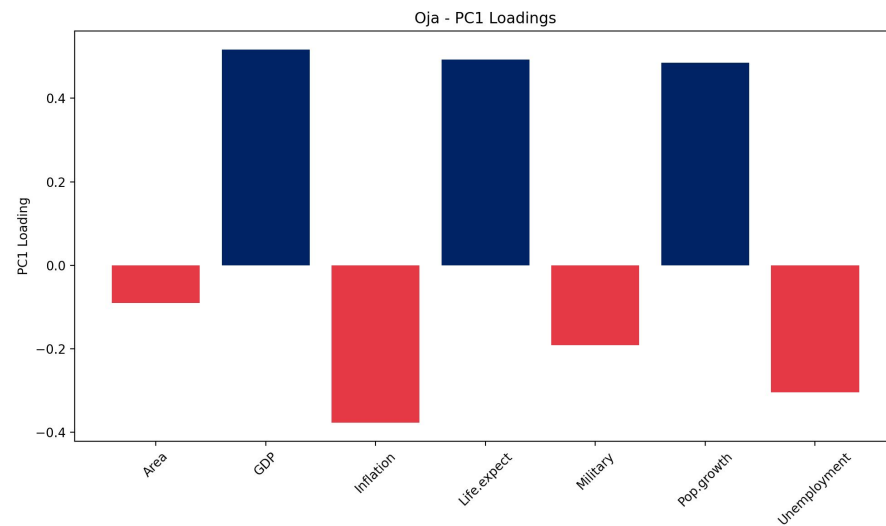
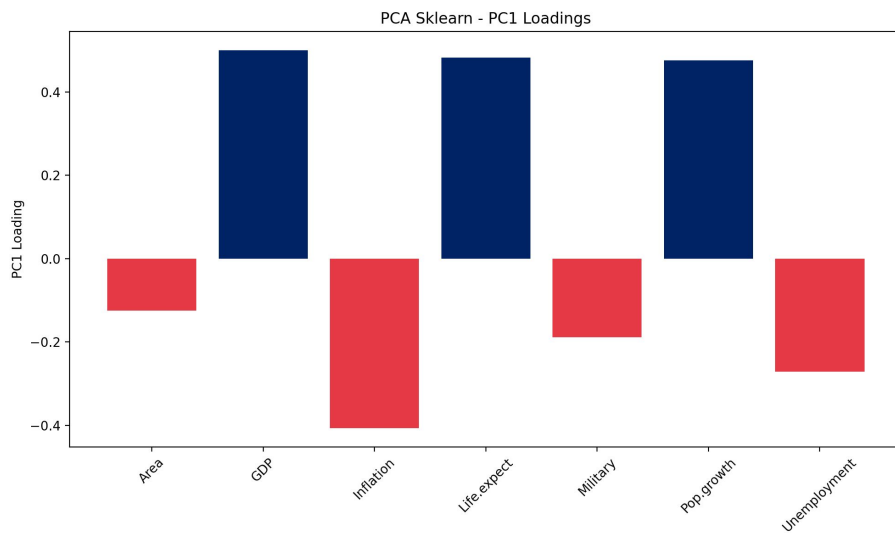


$\eta=0.1$ Epochs=100 E=0.22



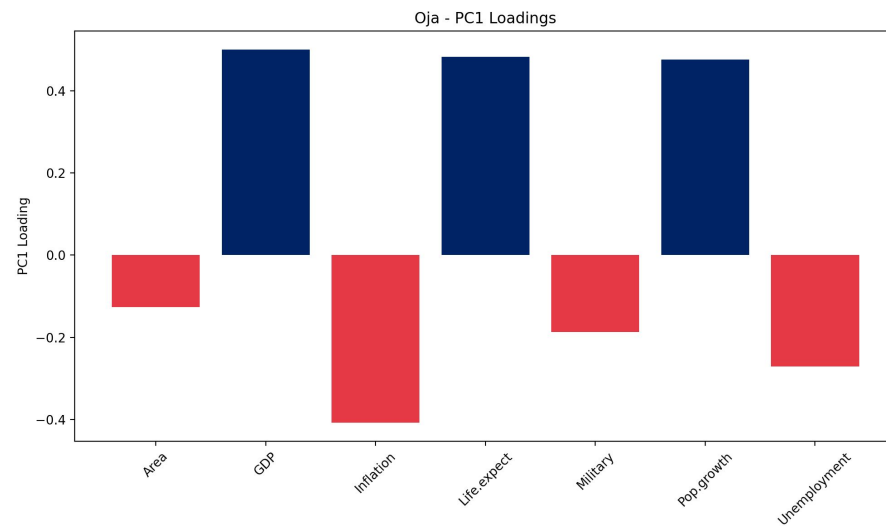
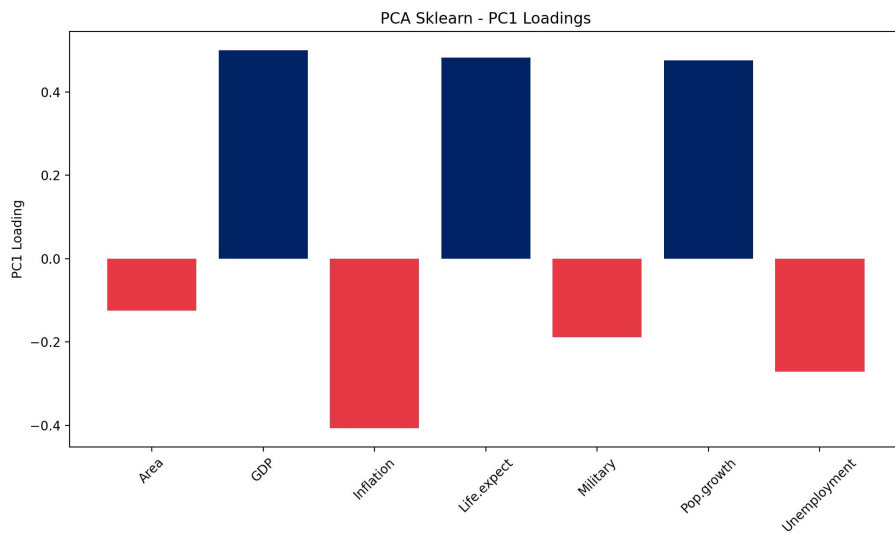


$\eta=0.01$ Epochs=1000 E=0.003675



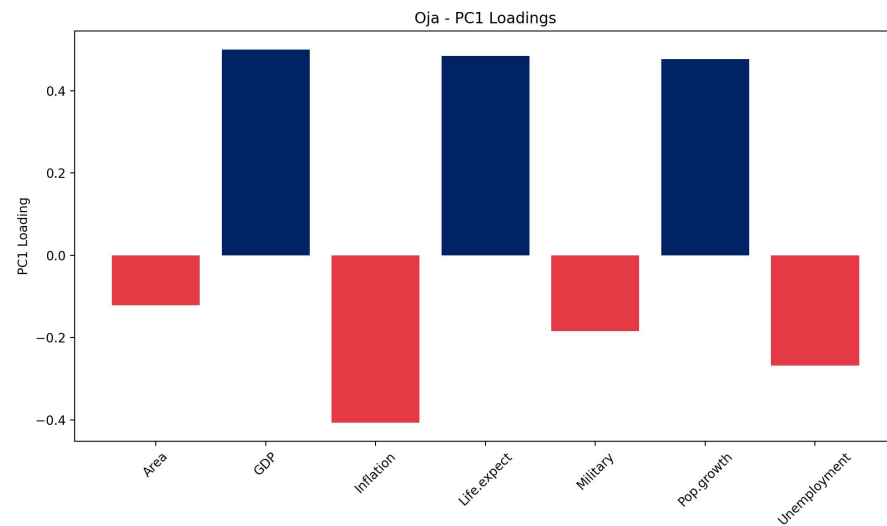
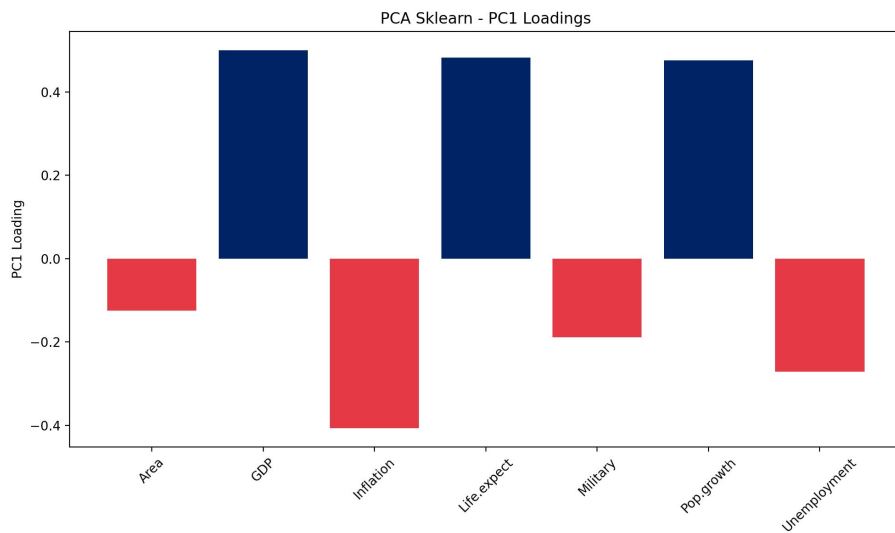


$\eta=0.001$ Epochs=1000 E=0.0000004





$\eta=0.0001$ Epochs=1000 E=0.00004





Conclusiones

- El PC1 puede ser considerado una medida del bienestar social.
- Las variables que más impactan de forma positiva son el GDP, la expectativa de vida y la tasa de crecimiento poblacional.
- La variable negativa con mayor magnitud es la inflación, mientras que la variable con menor magnitud es el área.
- Oja aproxima el PC1 de mejor forma con valores menores de η .
- Con valores muy altos de η Oja puede no converger nunca.
- Con valores muy bajos de η tarda mucho en converger.

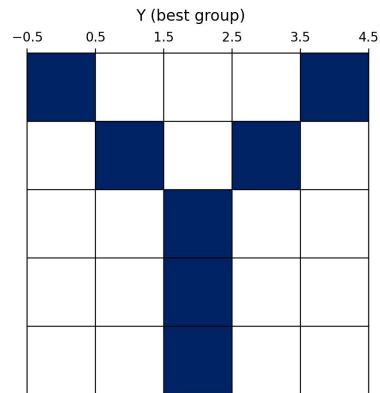
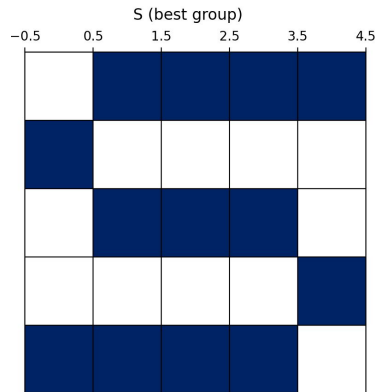
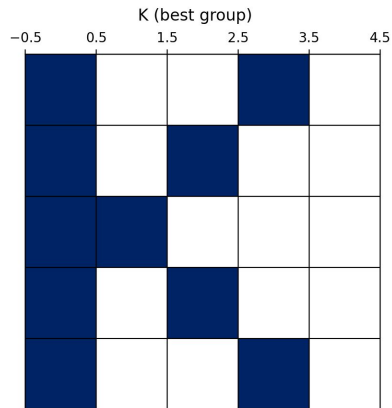
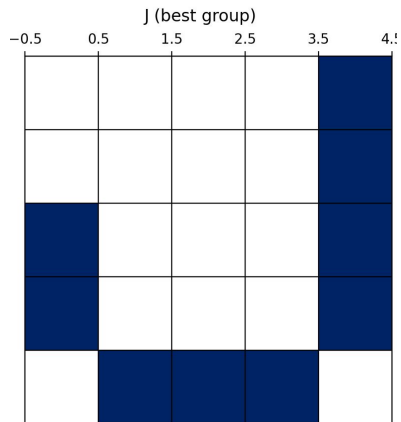
Red de Hopfield





Mejor grupo de 4 letras

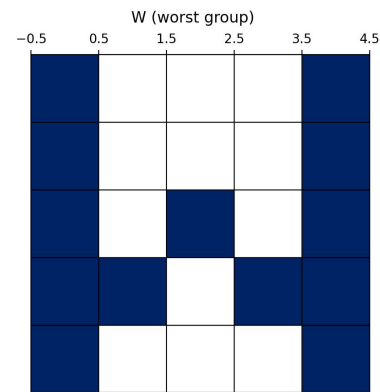
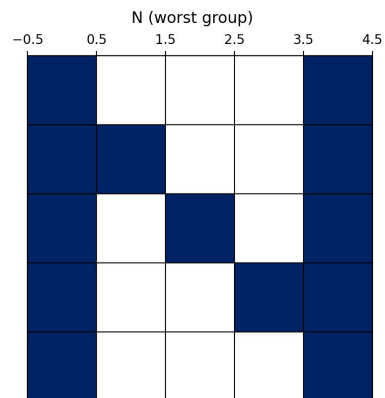
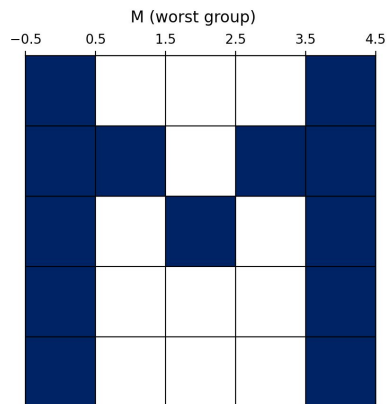
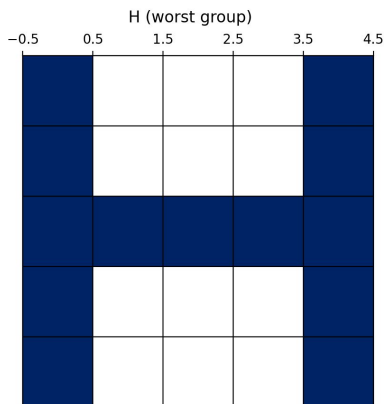
|<,>|medio = 1.333





Peor grupo de 4 letras

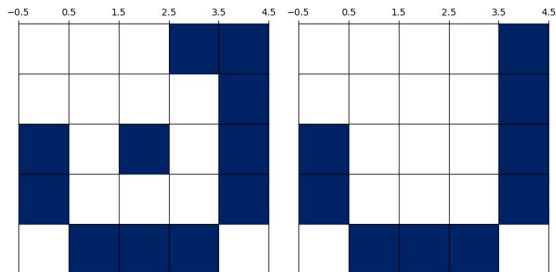
|<,>|medio = 18.333





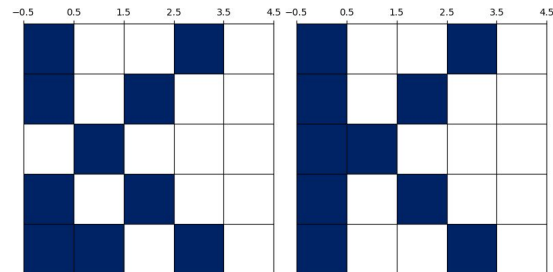
Análisis de convergencia según el ruido

$$\mu = 0.1$$



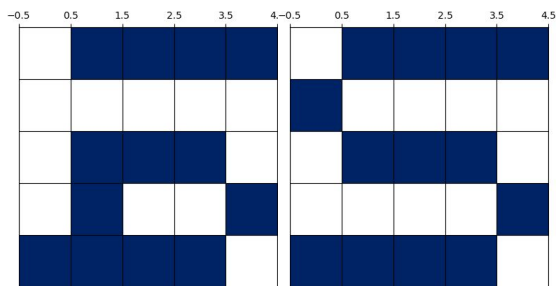
$$H(w) = -7.36$$

$$H(w) = -10.56$$



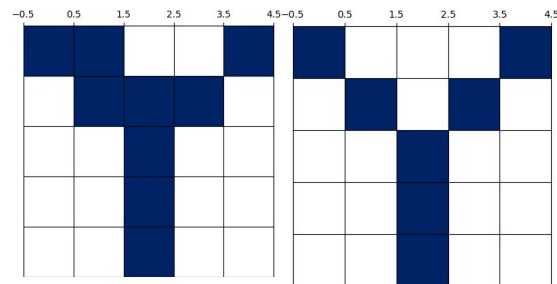
$$H(w) = -7.04$$

$$H(w) = -10.56$$



$$H(w) = -7.52$$

$$H(w) = -10.72$$

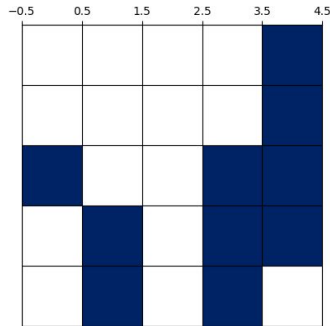


$$H(w) = -7.2$$

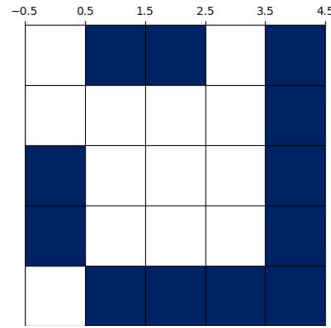
$$H(w) = -10.72$$

Análisis de convergencia según el ruido

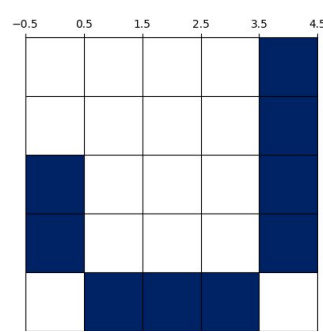
$$\mu = 0.2$$



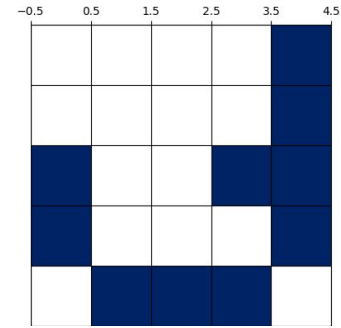
$$H(w) = -4.00$$



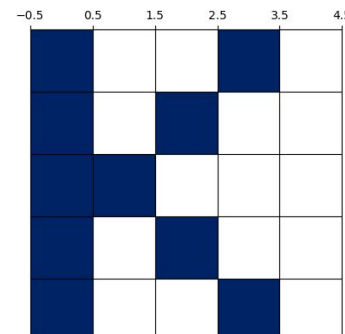
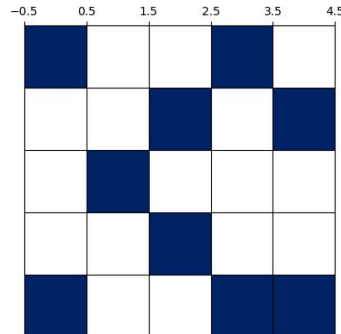
$$H(w) = -6.88$$



$$H(w) = -8.96$$



$$H(w) = -10.56$$

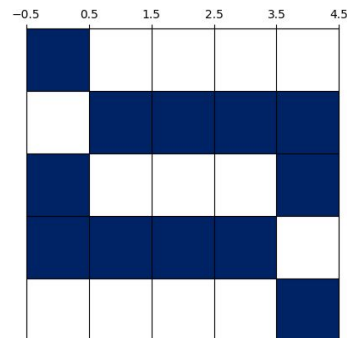
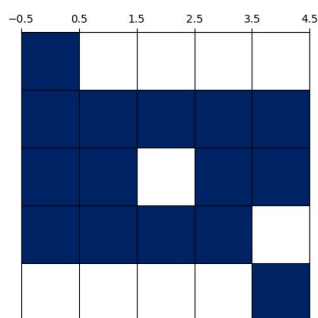
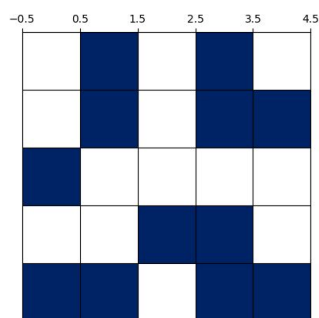




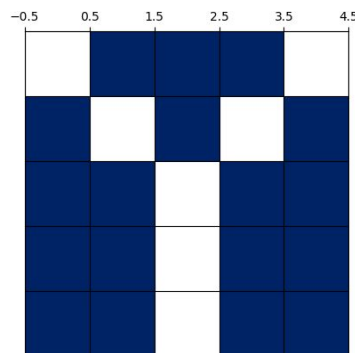
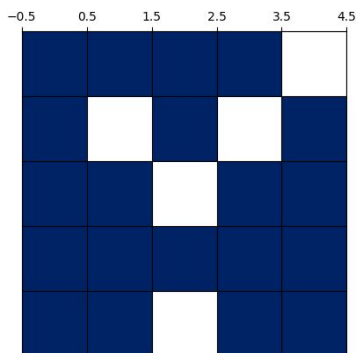
Análisis de convergencia según el ruido

$$\mu = 0.6$$

S

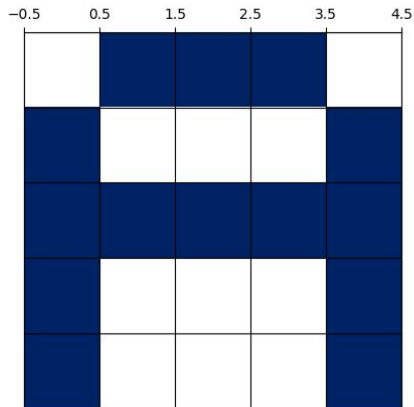


Y

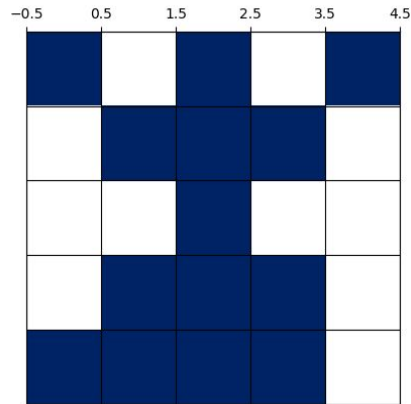




Análisis de mínimos locales y complementos de los patrones almacenados



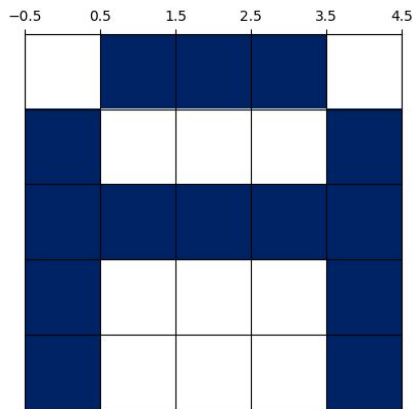
patrón almacenado



noise = 0.9

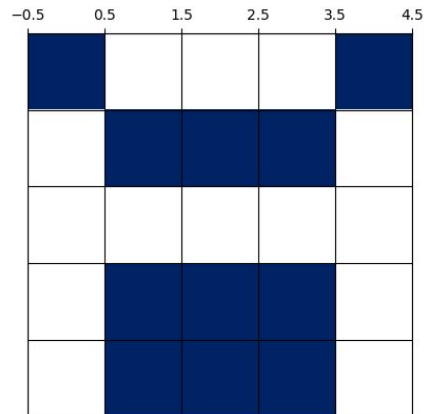


Análisis de mínimos locales y complementos de los patrones almacenados



patrón almacenado

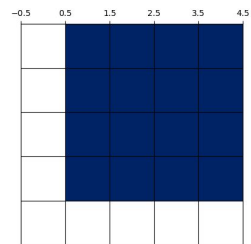
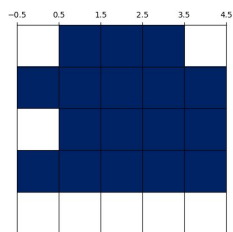
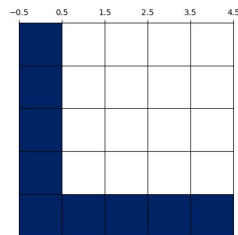
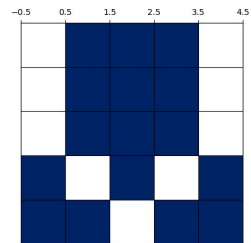
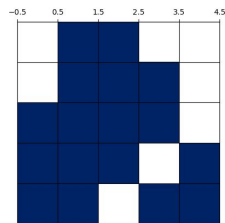
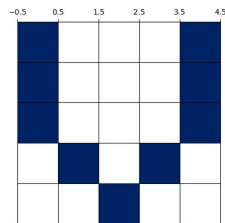
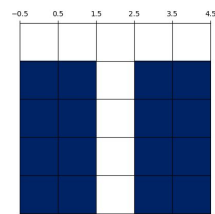
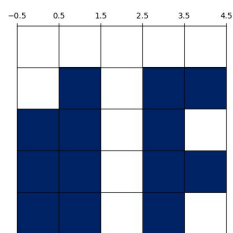
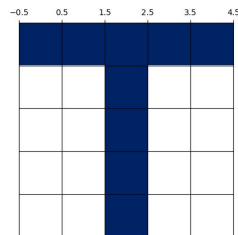
$$H(w) = -11.52$$



patrón espurio
obtenido

$$H(w) = -11.52$$

Análisis de mínimos locales y complementos de los patrones almacenados



Análisis de mínimos locales y complementos de los patrones almacenados

$$\text{sign}(h_i^\nu) = \xi_i^\nu$$

$$h_i^\nu = \sum_j w_{ij} \xi_j^\nu = \frac{1}{N} \sum_j \sum_\mu \xi_i^\mu \xi_j^\mu \xi_j^\nu$$

$$h_i^\nu = \frac{1}{N} \sum_j \sum_{\mu \neq \nu} \xi_i^\mu \xi_j^\mu \xi_j^\nu + \frac{1}{N} \sum_j \xi_i^\nu \xi_j^\nu \xi_j^\nu h_i^\nu = \frac{1}{N} \sum_j \sum_{\mu \neq \nu} \xi_i^\mu \xi_j^\mu \xi_j^\nu + \frac{1}{N} \xi_i^\nu$$

$$\text{sign}(h_i^\nu) = \xi_i^\nu$$

Análisis de mínimos locales y complementos de los patrones almacenados

$$-\xi^\nu = (-\xi_1^\nu, -\xi_2^\nu, \dots, -\xi_n^\nu)$$

$$\text{sign}(h_i) = -\xi_i^\nu$$

$$h_i = \sum_j w_{ij}(-\xi_j^\nu) = \frac{1}{N} \sum_j \sum_\mu \xi_i^\mu \xi_j^\mu (-\xi_j^\nu)$$

$$h_i = -\frac{1}{N} \sum_j \sum_\mu \xi_i^\mu \xi_j^\mu \xi_j^\nu$$

Análisis de mínimos locales y complementos de los patrones almacenados

$$h_i = -\frac{1}{N} \sum_j \sum_{\mu} \xi_i^{\mu} \xi_j^{\mu} \xi_j^{\nu}$$

$$h_i = -\left(\frac{1}{N} \sum_j \sum_{\mu \neq \nu} \xi_i^{\mu} \xi_j^{\mu} \xi_j^{\nu} + \frac{1}{N} \sum_j \xi_i^{\nu} \xi_j^{\nu} \xi_j^{\nu}\right)$$

$$h_i = -\left(\frac{1}{N} \sum_j \sum_{\mu \neq \nu} \xi_i^{\mu} \xi_j^{\mu} \xi_j^{\nu} + \frac{1}{N} \xi_i^{\nu}\right)$$

$$\text{sign}(h_i) = -\xi_i^{\nu}$$